

The Cost of IEEE Arithmetic in Secure Computation

本次分享的是发表在LatinCrypt'21上的论文 [The Cost of IEEE Arithmetic in Secure Computation](#)。

目前常见的安全多方计算方案在处理浮点数的时候，都是将浮点数转化为定点数，然后在定点数上进行安全计算。本文主要量化了IEEE754格式的浮点数在两种MPC框架：基于线性秘密分享和基于布尔电路方案，下的性能开销。为之后的研究提供了指导意义。

0. Notation

首先介绍一下本文设计的一些标记： $\mathbb{Z}_{\langle k \rangle} = \{x \in \mathbb{Z} : -2^{k-1} \leq x \leq 2^{k-1} - 1\}$ ，进一步，可以将 $\mathbb{Z}_{\langle k \rangle}$ 映射到 $\mathbb{F}_p: x \rightarrow x \pmod{p}$ ($k < \log_2 p$)。 $[n] = \{1, \dots, n\}$ 。

1. 基础知识

1.1 MPC-Black Box

本文主要涉及了线性秘密分享（LSSS-Based MPC）和多方下的混乱电路（GC-Based n-party MPC），前者计算在算术电路上（ $\mathbb{F}_p, [x]_p$ ），后者作用在布尔电路上（ $\mathbb{F}_2, [x]_2$ ）。

LSSS-Based MPC: 对于LSSS下的方案，最简单的是全门限结构： $x = \sum x_i \pmod{p}$ ，进一步还可能对于 x 的认证（MAC），典型的方案SPDZ；而在 $t < n/2$ 门限结构下，Shamir's Secret Sharing是常用的另一种方案；当 $p = 2$ 时，本文采用replicated secret sharing技术。

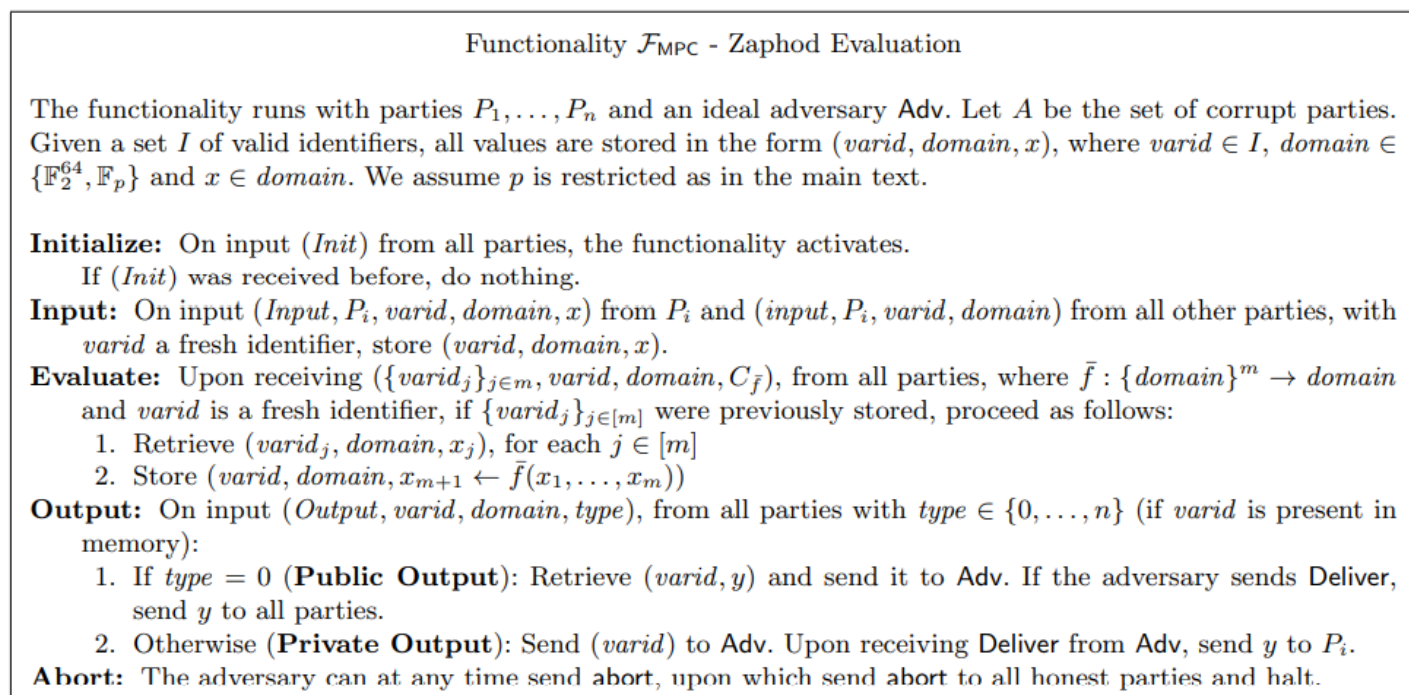
GC-Based n-party MPC: 在全门限结构下不能利用replicated secret sharing的一些性质，因此本文采用了n-party下的GC-Based方案。进一步，为了实现认证秘密分享，本文还引进了BDOZ-Style MAC。

Combining the Binary and Large Prime Variants: 本文使用Zaphod技术实现布尔和算术（模素数）下的转化。因为 $x \in \mathbb{Z}_{\langle 64 \rangle}$ ，因此所有的数据比特位长 ≤ 64 。故而，在从布尔转化到算术隐藏 x 的时候

$$x + \sum_{i=0}^{\lceil \log_2 p \rceil} b_i \cdot 2^i \pmod{p}$$

需要 $64 + sec < \log_2 p$, 其中 sec 是统计安全参数。

Zaphod-Evaluation的functionality如下:

Figure 1. Functionality \mathcal{F}_{MPC} - Zaphod Evaluation

\mathbb{F}_p 和 \mathbb{F}_2 之间的转化functionality如下:

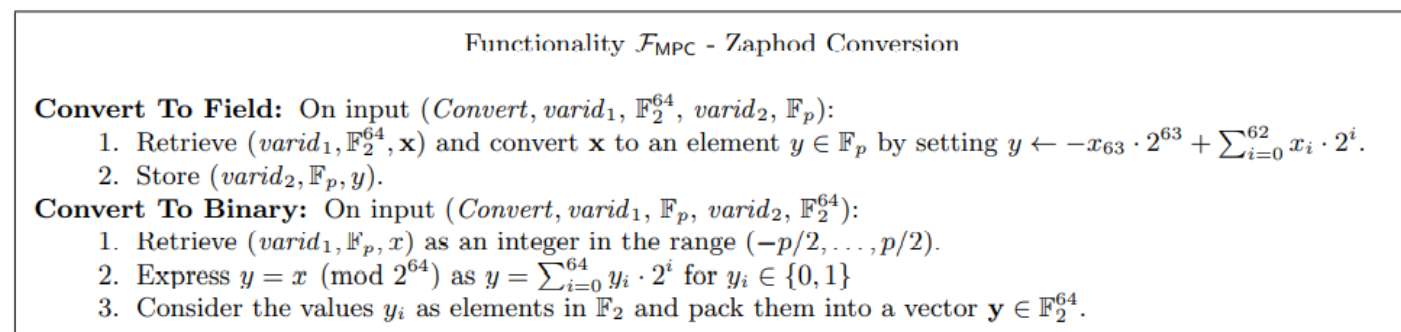
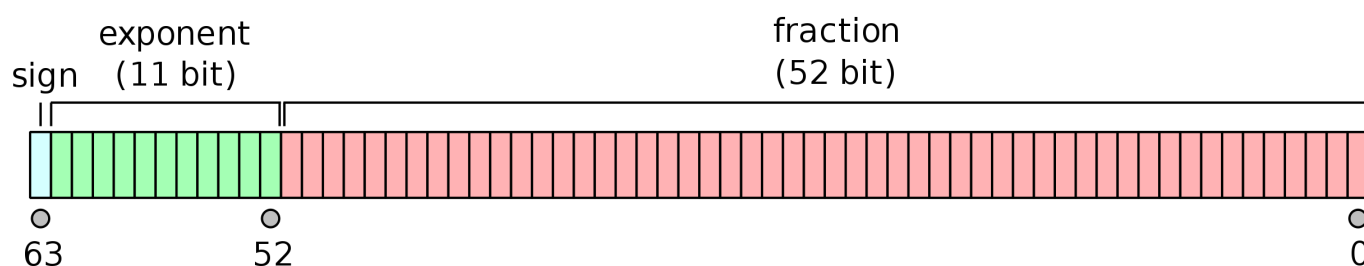


Figure 2. Functionality \mathcal{F}_{MPC} - Zaphod Conversion

1.2 IEEE-754

IEEE-754定义了标准的64比特浮点数格式:



从而数据真值可以表示为:

$$(-1)^{b_{63}} \cdot (1 + \sum_{i=1}^{52} (b_{52-i} \cdot 2^{-i})) \cdot 2^{e-1023}$$

其中:

1. $e = 0, m = 0$: 表示0;
2. $e = 2047, m = 0$: 表示 ∞ ;
3. $e = 2047, m \neq 0$: 表示 NaN 。

1.3 Secure-Floats via \mathbb{F}_p -Arithmetic

在MPC中, 浮点数利用五元组 (v, p, z, s, err) 表示:

- $v \in [2^{\ell-1}, 2^\ell)$: 表示 $\ell + 1$ 比特的尾数, 其最高位拥有置为1;
- $p \in \mathbb{Z}_{\langle k \rangle}$: 表示带符号的指数部分;
- z : 比特值, 表示当前值是否为0;
- s : 符号比特;
- err : 如果没有舍入或者算术错误, $err = 0$; 否则 $err \neq 0$ 。

其中 ℓ 和 k 是公开参数。

在公开真实值的时候, 首先判断 $[b]_p \leftarrow ([err]_p = 0)$, 然后公开 $([b]_p \cdot [v]_p, [b]_p \cdot [p]_p, [b]_p \cdot [s]_p, 1 - [b]_p)$ 。

Fixed-Point Representation的表示之前的总结提到很多次, 在此不做赘述。

2. Generating Circuits for IEEE Arithmetic

本文使用CBMC-GC将C语言代码编译为MPC代码, 然后使用Scale-Mamba执行MPC代码。转化的方式很简单, 只需要在C语言代码上做少量修改即可。例子如下:

```
float64 float64_add(float64 a, float64 b)
{
    flag aSign, bSign;
    aSign = extractFloat64Sign(a);
    bSign = extractFloat64Sign(b);
    if ( aSign == bSign )
    {
        return addFloat64Sigs(a, b, aSign);
    }
    else
    {
        return subFloat64Sigs(a, b, aSign);
    }
}
```

Fig. 3. The original SoftFloat C-code for IEEE-754 double addition

```

void mpc_main(float64 INPUT_X_a,
              float64 INPUT_Y_b)
{
    flag aSign, bSign;
    float64 temp_output, OUTPUT_A_x;
    aSign = extractFloat64Sign(INPUT_X_a);
    bSign = extractFloat64Sign(INPUT_Y_b);
    if ( aSign == bSign )
    {
        temp = addFloat64Sigs(INPUT_X_a,
                              INPUT_Y_b, aSign);
        goto done; }
    else { temp =
        subFloat64Sigs(INPUT_X_a,
                      INPUT_Y_b, aSign);
        goto done; }
done:
    OUTPUT_A_X = temp; }

```

Fig. 4. SoftFloat C-code after modification for CBMC-GC

转化之后的电路，对于加法、乘法和电路复杂度如下：

	No. ANDs	No. XORs	No. INVs	AND Depth
add	5385	8190	2062	235
mul	19626	21947	3326	129
div	82269	84151	17587	3619

3. Converting Between Representations

接下来，介绍布尔和算术（模素数）下的转化。本文使用daBits实现转化。首先，对于 $[x]_p \leftarrow \text{convert}([x]_2)$ ，转化如下：

- $([r]_2, [r]_p) \leftarrow \text{daBits}$;
- $[v]_2 \leftarrow [x]_2 \oplus [r]_2$;
- $v \leftarrow \text{Open}([v]_2)$;
- $[x]_p \leftarrow v + [r]_p - 2 \cdot v \cdot [r]_p$.

类似的， $[x]_2 \leftarrow \text{convert}([x]_p)$ 转化如下：

- For $i = 0, \dots, \text{sec}$ 生成 $([r_i]_2, [r_i]_p) \leftarrow \text{daBits}$;
- $[r]_p \leftarrow \sum_{i=0}^{\text{sec}} [r_i]_p \cdot 2^i$;
- $[v]_p \leftarrow [x]_p + [r]_p$;
- $v \leftarrow \text{Open}([v]_p)$;
- $[\mathbf{x}]_2 \leftarrow x - [\mathbf{r}]_2$.

基于上述两个转化，可以实现IEEE和sfloat之间的转化如下：

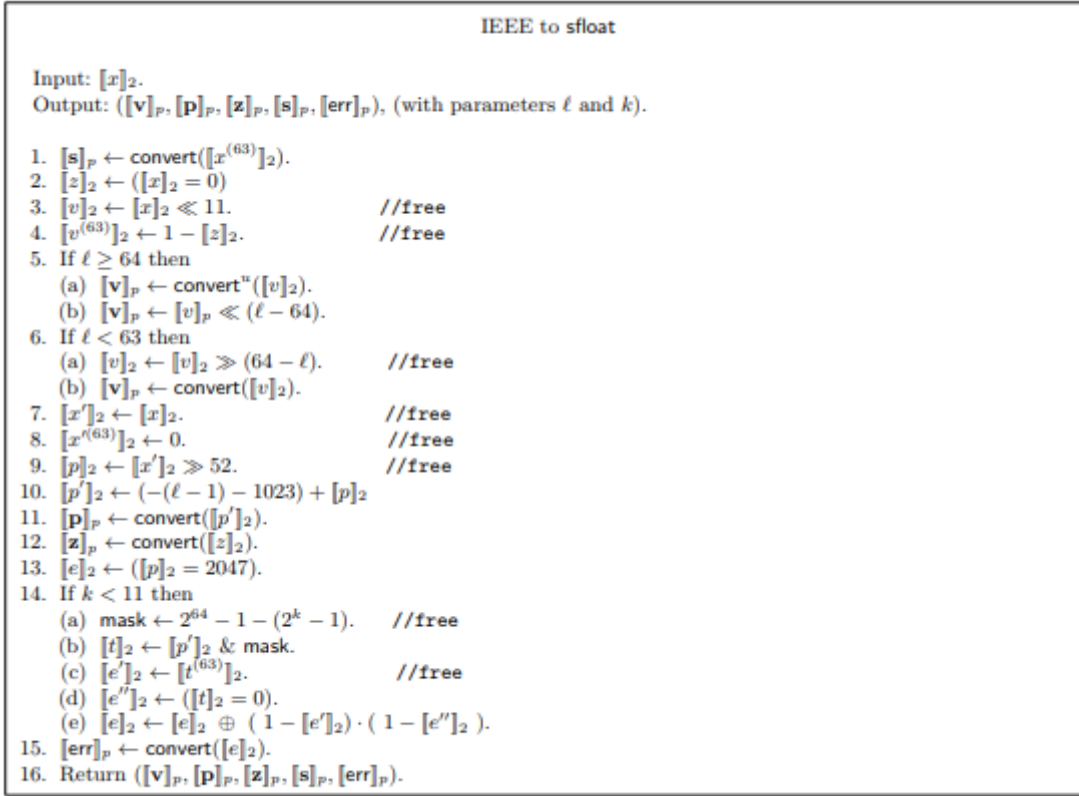


Figure 5. IEEE to sfloat

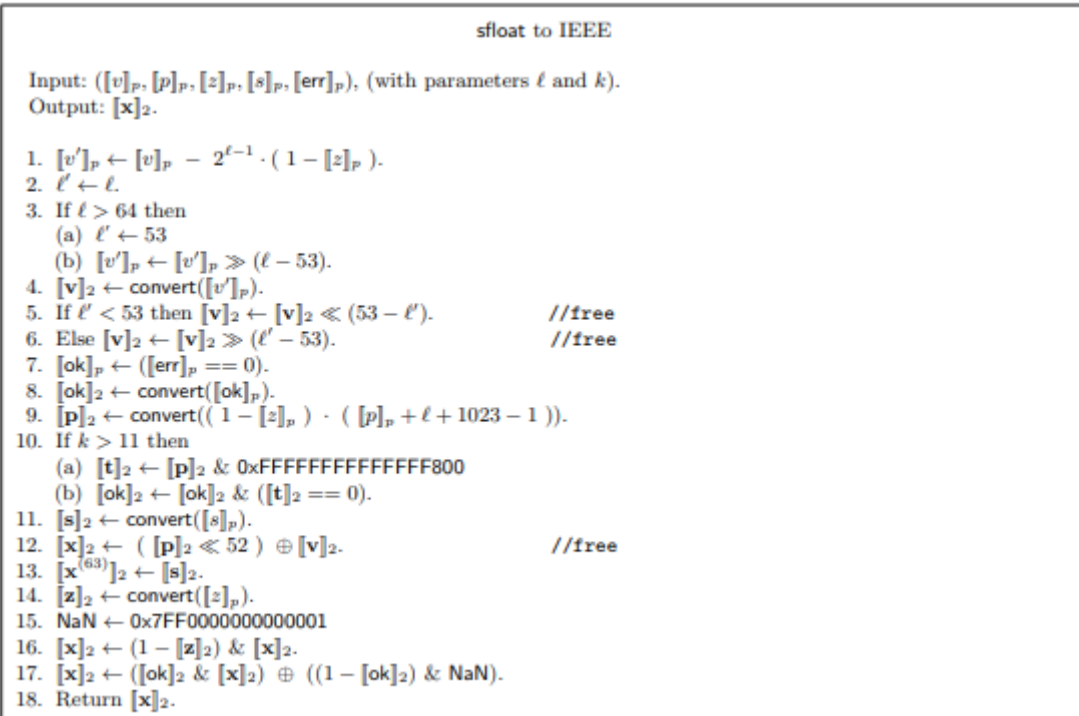


Figure 6. sfloat to IEEE

转化的时候需要考虑浮点数各个部分的关系和异常处理、错误处理。

4. Evaluation

本文分别做了IEEE-754在布尔电路下的时间开销，sfix在LSSS-Based MPC下的时间开销和sfloat在LSSS-Based MPC下的时间开销。对于计算精度来说，sfix-sfloat-IEEE-754逐步上升，而效率却是逐步下降。因此，在实际应用中需要平衡二者之间的关系。

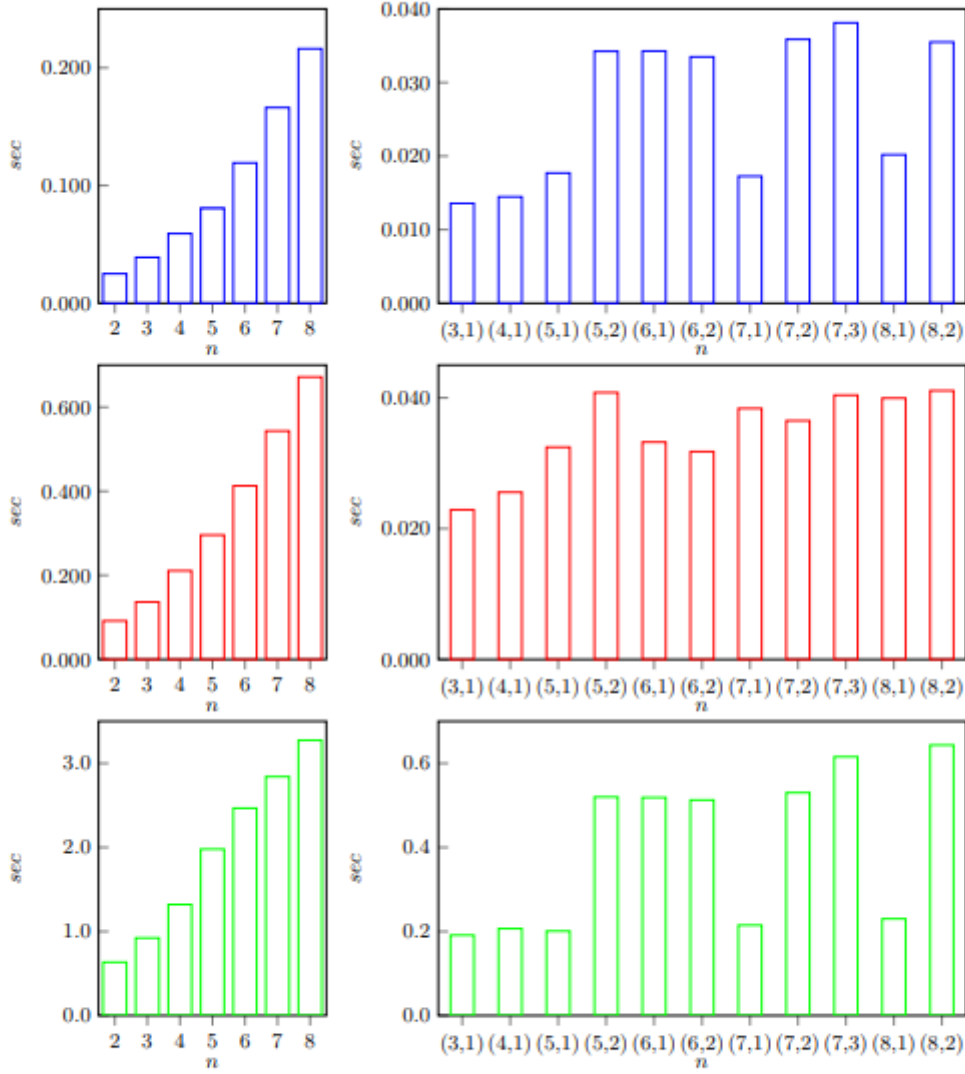


Fig. 7. Execution time in sec to execute the binary circuit based IEEE-754 operations addition (blue), multiplication (red), division (green) for Full Threshold access structure with n players (left column) and Shamir access structures (n, t) (right column)

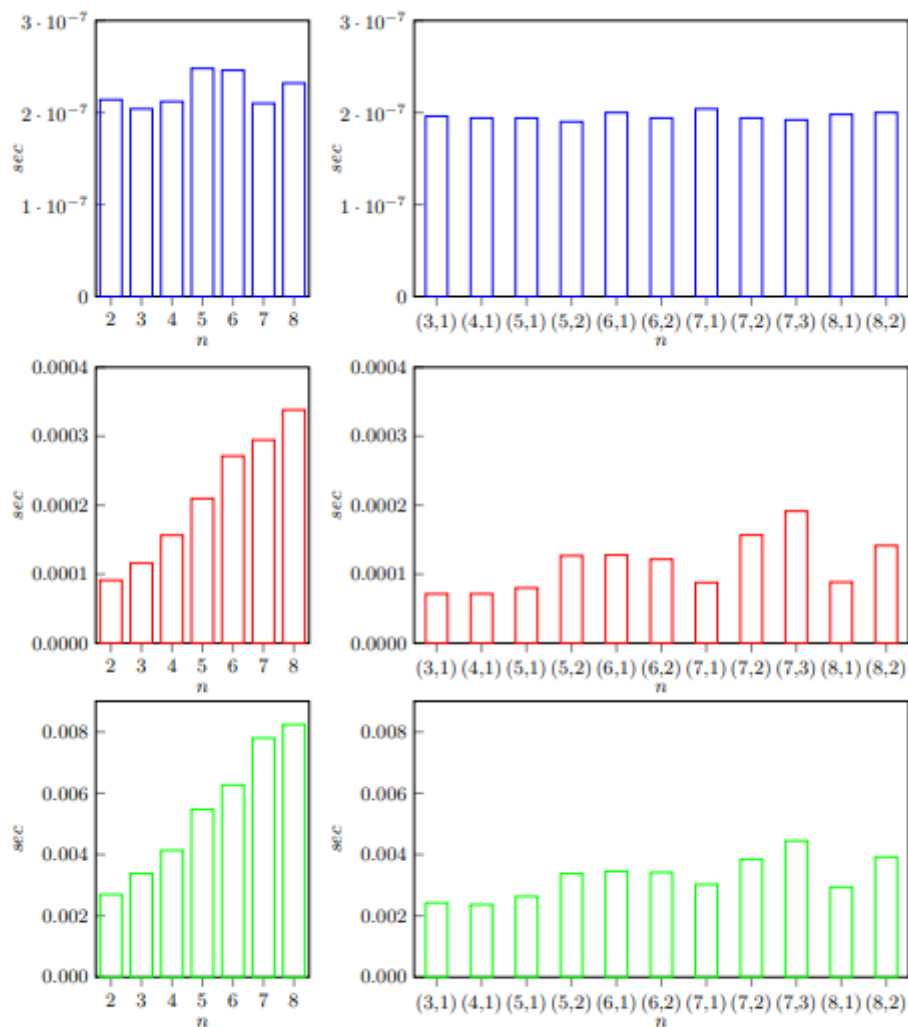


Fig. 8. Execution time in sec to execute the LSSS-based sfix operations addition (blue), multiplication (red), division (green) for Full Threshold access structure with n players (left column) and Shamir access structures (n, t) (right column)

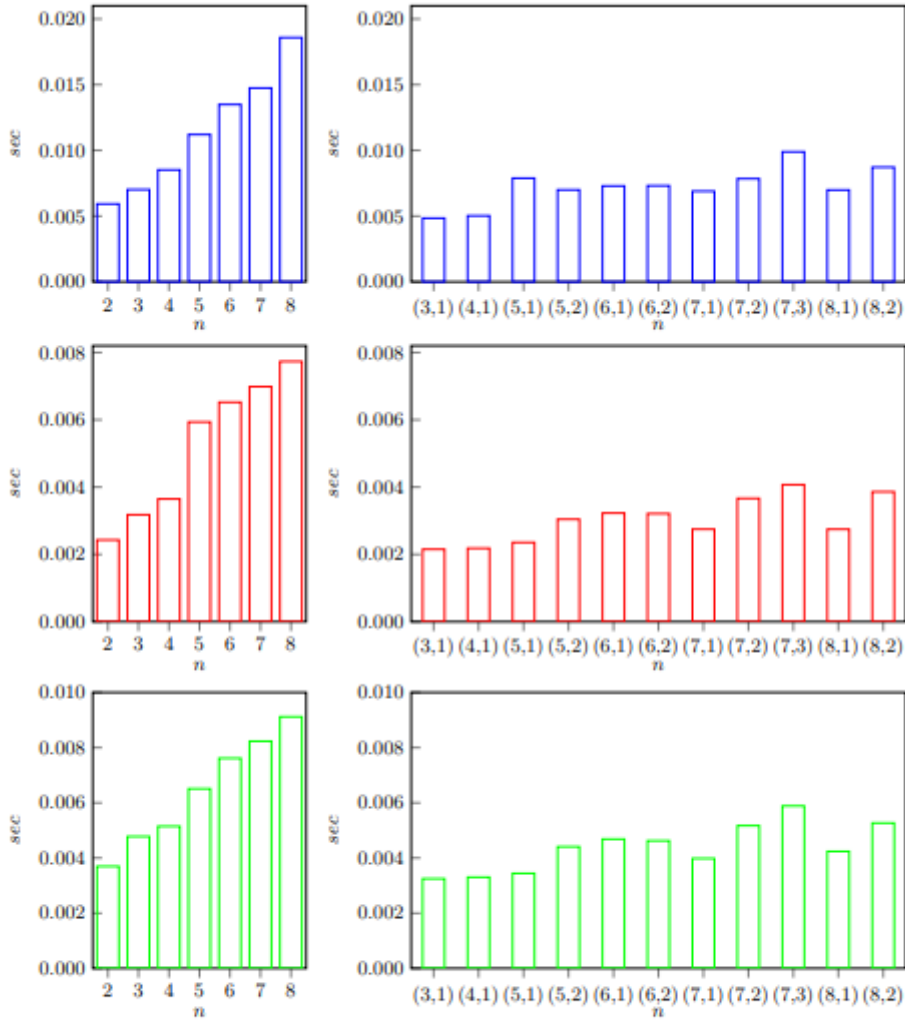


Fig. 9. Execution time in sec to execute the LSSS-based **sfloat** operations addition (blue), multiplication (red), division (green) for Full Threshold access structure with n players (left column) and Shamir access structures (n, t) (right column)